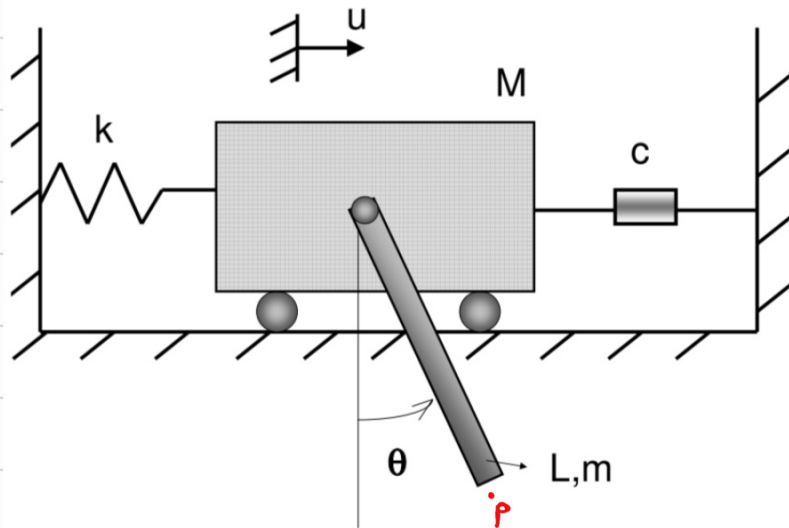


Questão 4. A Fig 3 apresenta um sistema carro-pêndulo.

(a) Obtenha as equações de movimento do sistema apresentado na Fig 3 utilizando as equações de Lagrange. Adote a hipótese de que a barra é rígida e que toda a sua massa encontra-se localizada na sua extremidade livre.

(b) Escreva a equação de movimento do sistema utilizando a formulação no espaço de estados.

(c) Obtenha a solução numérica para $u(t)$ e $\theta(t)$ considerando $M = 1[\text{kg}]$, $k = 100[\text{N/m}]$, $c = 0.4[\text{N.s/m}]$, $L = 1[\text{m}]$ e $m = 2[\text{kg}]$. Considere como condições iniciais $u(0) = 0[\text{m}]$, $\dot{u}(0) = 0[\text{m/s}]$, $\theta(0) = \frac{\pi}{4}[\text{rad}]$ e $\dot{\theta}(0) = 0[\text{rad/s}]$. Apresente os gráficos de $t \times u(t)$, $t \times \theta(t)$, $u(t) \times \dot{u}(t)$, $\theta(t) \times \dot{\theta}(t)$ e $t \times \text{Energia Mecânica}$



a)

• Coordenadas generalizadas

$$q_1 = x, q_2 = \theta$$

• Posição de P

$$\mathbf{r}_P = (x + L \cos(\theta))\hat{i} - (L \sin(\theta))\hat{j}$$

• Velocidade de P

$$\mathbf{v}_P = (\dot{x} + L \cos(\theta) \dot{\theta})\hat{i} + (L \sin(\theta) \dot{\theta})\hat{j}$$

• Energia Cinética

$$T = \frac{1}{2} M \dot{x}^2 + \frac{1}{2} m \mathbf{v}_P \cdot \mathbf{v}_P + \frac{1}{2} I_P \dot{\theta}^2$$

$$I_P = mL^2$$

• Energia Potencial

$$V = \frac{1}{2} k x^2 + mgL(1 - \cos(\theta))$$

• Lagrange $L = T - V$

$$L = \frac{1}{2} M \dot{x}^2 + \frac{1}{2} m (\dot{x}^2 + 2 \dot{x} L \omega(t) \dot{\theta} + L^2 \omega(t)^2 \dot{\theta}^2 + L^2 \dot{\theta}^2 \sin^2(t) + L^2 \dot{\theta}^2) - \frac{1}{2} k x^2 - m g L (1 - \cos(t))$$

$$L = \frac{1}{2} [M \dot{x}^2 + m (\dot{x}^2 + 2 \dot{x} \dot{\theta} L \omega(t) + L^2 \dot{\theta}^2 \omega(t)^2 + L^2 \dot{\theta}^2 \sin^2(t) + L^2 \dot{\theta}^2)] - \frac{1}{2} k x^2 - m g L (1 - \cos(t))$$

$$L = \frac{1}{2} (M+m) \dot{x}^2 + m L \dot{\theta} (\dot{x} \omega(t) + L \dot{\theta}) - \frac{1}{2} k x^2 - m g L (1 - \cos(t))$$

• Força não conservativa

$$Q_{1NC} = X = -\dot{x} c$$

$$Q_{2NC} = \Theta = 0$$

• A equação do momento de Lagrange é dada por:

$$\frac{d}{dt} \left(\frac{\partial L}{\partial \dot{q}_k} \right) - \frac{\partial L}{\partial q_k} = Q_{kNC}$$

$$\frac{\partial L}{\partial \dot{x}} = (M+m) \dot{x} + m L \dot{\theta} \omega(t)$$

$$\frac{\partial L}{\partial \dot{\theta}} = m L \dot{x} \omega(t) + 2 m L^2 \dot{\theta}$$

$$\frac{\partial L}{\partial x} = -kx$$

$$\frac{\partial L}{\partial \theta} = -m L \dot{x} \sin(t) - m g L \sin(t)$$

$$(1) (M+m) \ddot{x} + m L \ddot{\theta} \omega(t) - m L \dot{\theta} \sin(t) \dot{\theta} + kx = -\dot{x} c$$

$$(1) (M+m) \ddot{x} + m L \ddot{\theta} \omega(t) - m L \dot{\theta}^2 \sin(t) + kx + c\dot{x} = 0$$

$$(2) m L \ddot{x} \omega(t) - m L \dot{x} \sin(t) \dot{\theta} + 2 m L^2 \ddot{\theta} + m L \dot{\theta} \dot{x} \sin(t) + m g L \sin(t) = 0$$

$$(2) m L [\ddot{x} \omega(t) - \dot{x} \dot{\theta} \sin(t) + 2 L \ddot{\theta} + \dot{x} \dot{\theta} \sin(t)] + m g L \sin(t) = 0$$

$$(2) \ddot{x} \omega(t) + 2 L \ddot{\theta} + g L \sin(t) = 0$$

b) Exercendo pelas equações de Hamilton

• Momento é dado por: $P_K = \frac{\partial L}{\partial \dot{q}_K}$

$$P_K = \frac{\partial}{\partial \dot{q}_K} \left[\frac{1}{2} (M+m) \dot{x}^2 + mL\dot{\theta} (\dot{x} \cos(\theta) + L\dot{\theta}) - \frac{1}{2} kx^2 - m_g L(1 - \cos(\theta)) \right]$$

$$P_x = (M+m)\dot{x} + mL\dot{\theta} \cos(\theta)$$

$$P_\theta = mL\dot{x} \cos(\theta) + 2mL^2\dot{\theta}$$

$$\mathcal{H} = T + V$$

$$\dot{x} = \frac{P_x}{(M+m)} - mL\dot{\theta} \cos(\theta)$$

$$\dot{\theta} = \frac{P_\theta}{2mL^2} - mL\dot{x} \cos(\theta) = \frac{P_\theta}{2mL^2} - \frac{mLP_x \cos(\theta)}{(M+m)} + m^2 L^2 \cos^2(\theta) \dot{\theta}$$

$$\dot{\theta} (1 - m^2 L^2 \cos^2(\theta)) = \frac{P_\theta}{2mL^2} - \frac{mLP_x \cos(\theta)}{(M+m)}$$

$$\dot{\theta} = \left(\frac{P_\theta}{2mL^2} - \frac{mLP_x \cos(\theta)}{(M+m)} \right) \cdot \frac{1}{(1 - m^2 L^2 \cos^2(\theta))}$$

$$\dot{x} = \frac{P_x}{(M+m)} - mL \cos(\theta) \left[\left(\frac{P_\theta}{2mL^2} - \frac{mLP_x \cos(\theta)}{(M+m)} \right) \cdot \frac{1}{(1 - m^2 L^2 \cos^2(\theta))} \right]$$

$$\mathcal{H} = \frac{1}{2} M \dot{x}^2 + \frac{1}{2} m (\dot{x}^2 + 2\dot{x}L\dot{\theta} \cos(\theta) + L^2 \dot{\theta}^2 \cos^2(\theta) + L^2 \dot{\theta}^2) + \frac{1}{2} kx^2 + m_g L(1 - \cos(\theta))$$

• Seja

$$P_K = Q_{KNC} - \frac{\partial \mathcal{H}}{\partial \dot{q}_K}$$

$$P_x = -c\dot{x} - \frac{\partial \mathcal{H}}{\partial \dot{x}}$$

$$P_\theta = -\frac{\partial \mathcal{H}}{\partial \dot{\theta}}$$

c) Cálculo feito em Python

$$(1) (M+m)\ddot{x} + mL\ddot{\omega}(0) - mL\dot{\omega}^2 \sin(0) + kx + c\dot{x} = 0$$

$$(2) \ddot{x} \cos(0) + 2L\ddot{\theta} + gL \sin(0) = 0$$

$$(1) \ddot{x} = \frac{1}{(M+m)} (-mL\ddot{\omega}(0) + mL\dot{\omega}^2 \sin(0) - kx - c\dot{x})$$

$$(2) \frac{1}{(M+m)} (-mL\ddot{\omega}(0) + mL\dot{\omega}^2 \sin(0) - kx - c\dot{x}) \cos(0) + 2L\ddot{\theta} + gL \sin(0) = 0$$

$$\frac{1}{(M+m)} (-mL\ddot{\omega}^2(0) + mL\dot{\omega}^2 \sin(0) \cos(0) - kx \cos(0) - c\dot{x} \cos(0)) + 2L\ddot{\theta} + gL \sin(0) = 0$$

$$\frac{1}{(M+m)} (-mL\ddot{\omega}^2(0)) + 2L\ddot{\theta} = \frac{1}{(M+m)} (-mL\dot{\omega}^2 \sin(0) \cos(0) + kx \cos(0) + c\dot{x} \cos(0)) - gL \sin(0)$$

$$\ddot{\theta} \left[\frac{-mL \cos(0)}{(M+m)} + \frac{2L}{\cos(0)} \right] = \frac{1}{(M+m)} (-mL\dot{\omega}^2 \sin(0) + kx + c\dot{x} - gL \tan(0)(M+m))$$

$$\ddot{\theta} = \frac{(M+m) \cos(0)}{-mL \cos^2(0) + 2L(M+m)} \cdot \frac{1}{(M+m)} (-mL\dot{\omega}^2 \sin(0) + kx + c\dot{x} - gL \tan(0)(M+m))$$

$$\ddot{\theta} = \frac{\cos(0)}{L[2(M+m) - m\cos^2(0)]} [-mL\dot{\omega}^2 \sin(0) + kx + c\dot{x} - gL \tan(0)(M+m)]$$

$$\ddot{x} = \frac{1}{(M+m)} (-mL\ddot{\omega}(0) + mL\dot{\omega}^2 \sin(0) - kx - c\dot{x})$$

Questão 5. Considere o sistema contínuo representado na Fig. 4. O sistema corresponde a uma barra engastada com massa específica ρ , módulo de elasticidade E , área da seção transversal variável $A(x)$ e comprimento L . A barra está conectada a uma mola linear de rigidez k e a um amortecedor viscoso com constante de amortecimento c , localizados nas posições $x = x_k$ e $x = x_c$, respectivamente. Na extremidade livre da barra está sendo aplicada força axial $P(t)$.

Obtenha a equação de movimento do sistema e suas condições de contorno.

OBS: A distribuição delta de Dirac $\delta_d(x)$ possui a seguinte propriedade:

$$\int_{-\infty}^{+\infty}$$

$$\int_{-\infty}^{\infty} \delta_d(x - x_0) g(x) dx = g(x_0) \quad (4)$$

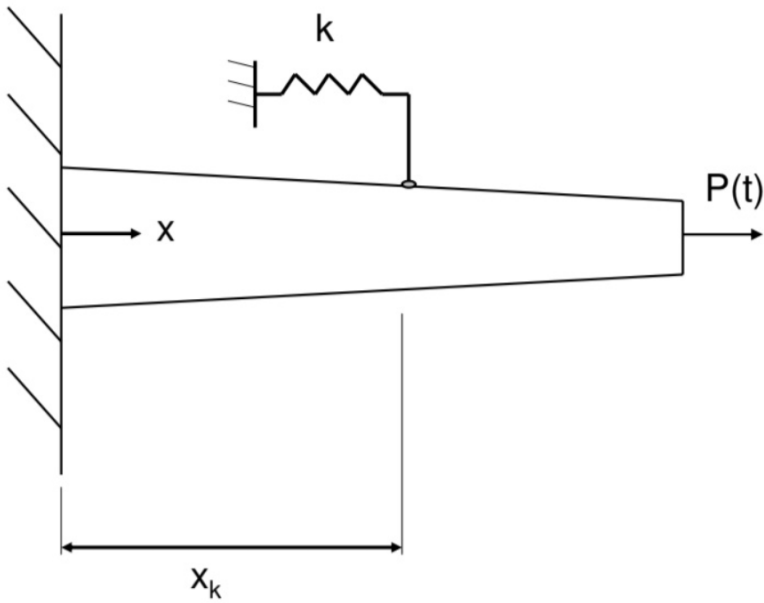


Figure 4: Barra engastada contendo uma mola elástica acoplada em $x = x_k$ e um amortecedor acoplado em $x = x_c$.

Considerações

- Elasticidade linear
- Pequena deformação $\epsilon = \frac{du}{dx}$
- ρ, E constantes

• Energia Cinética

$$T = \frac{1}{2} \int_0^L \left(\frac{du}{dt} \right)^2 dm = \frac{1}{2} \int_0^L \left(\frac{du}{dt} \right)^2 A(x) \rho dx = \frac{1}{2} \rho \int_0^L \left(\frac{du}{dt} \right)^2 A(x) dx$$

• Energia Potencial

$$V = \frac{1}{2} \int_0^L \epsilon E dV + \frac{1}{2} k u(x_k) = \frac{1}{2} \int_0^L E \left(\frac{du}{dx} \right)^2 A(x) dx + \frac{1}{2} k u(x_k)$$

- A variação da energia cinética é dada por:

$$\left[\delta T = \sum \frac{\partial T}{\partial q_k} \delta q_k \right] T = \frac{1}{2} \rho \int_0^L \left(\frac{du}{dt} \right)^2 A(x) dx$$

$$\delta T = \frac{1}{2} \rho \int_0^L \delta \left(\frac{dy}{dt} \right)^2 A(x) dx = \frac{1}{2} \rho \int_0^L 2 \left(\frac{dy}{dt} \right) \delta \left(\frac{dy}{dt} \right) A(x) dx = \rho \int_0^L \left(\frac{dy}{dt} \right) \delta \left(\frac{dy}{dt} \right) A(x) dx$$

• Integrando a variação da energia cinética no tempo

$$\int_{t_0}^{t_1} \delta T dt = \int_{t_0}^{t_1} \rho \int_0^L \left(\frac{dy}{dt} \right) \delta \left(\frac{dy}{dt} \right) A(x) dx dt = \rho \int_0^L A(x) \underbrace{\int_{t_0}^{t_1} \left(\frac{dy}{dt} \right) \delta \left(\frac{dy}{dt} \right) dt}_{(*)} dx$$

• Integrando por partes no tempo (*)

$$\begin{array}{l|l} u = \left(\frac{dy}{dt} \right) & \int u dv = uv - \int v du \\ dv = \delta \left(\frac{dy}{dt} \right) & (*) = \left[\left(\frac{dy}{dt} \right) \delta u \right]_{t_0}^{t_1} - \int_{t_0}^{t_1} \delta u \left(\frac{d^2 y}{dt^2} \right) dt \\ du = \left(\frac{d^2 y}{dt^2} \right) & \\ v = \delta u & \end{array} \quad \begin{array}{l} (1) \text{ Não há variação nos} \\ \text{tempos } t=t_0=t_1 \end{array}$$

$$\int_{t_0}^{t_1} \delta T dt = \rho \int_0^L A(x) \left[- \delta u \left(\frac{d^2 y}{dt^2} \right) \right]_{t_0}^{t_1} dx$$

• A variação da energia potencial

$$\boxed{\delta V = \sum \frac{\partial V}{\partial q_k} \delta q_k} \quad V = \frac{1}{2} \int_0^L E \left(\frac{dy}{dx} \right)^2 A(x) dx + \frac{1}{2} k u(x_k)$$

$$\delta V = \frac{1}{2} E \int_0^L \delta \left(\frac{dy}{dx} \right)^2 A(x) dx + \frac{1}{2} k \delta u(x_k) = \frac{1}{2} E \int_0^L 2 \left(\frac{dy}{dx} \right) \delta \left(\frac{dy}{dx} \right) A(x) dx + \frac{1}{2} k \delta u(x_k)$$

• Integrando a variação da energia potencial no tempo

$$\int_{t_0}^{t_1} \delta V dt = \int_{t_0}^{t_1} E \int_0^L \left(\frac{dy}{dx} \right) \delta \left(\frac{dy}{dx} \right) A(x) dx dt + \frac{1}{2} \int_{t_0}^{t_1} k \delta u(x_k) dt$$

(#)

• Integrando por partes no espaço (#)

$$u = \frac{\partial u}{\partial x} A(x)$$

$$\delta u = \frac{\partial}{\partial x} (\delta u)$$

$$v = \delta u$$

$$\delta u = \frac{\partial}{\partial x} \left[\frac{\partial u}{\partial x} A(x) \right]$$

$$\int_0^L \left(\frac{\partial u}{\partial x} \right) \frac{\partial}{\partial x} (\delta u) A(x) dx =$$

$$= \frac{\partial u}{\partial x} A(x) \delta u \Big|_0^L - \int_0^L \delta u \frac{\partial}{\partial x} \left[\frac{\partial u}{\partial x} A(x) \right] dx$$

Pela C.C., $\delta u(L, t) = 0$

$$\int_{t_0}^{t_1} \delta V dt = \frac{\partial u(L, t) A(L) \delta u(L, t)}{\partial x} - \int_0^L \delta u \frac{\partial}{\partial x} \left[\frac{\partial u}{\partial x} A(x) \right] dx$$

• Trabalho não conservativo

$$W_{nc} = -C \dot{x} \delta u + P \delta u$$

• Pelo princípio de Hamilton:

$$\int_{t_1}^{t_2} (\delta L + \delta \bar{W}_{nc}) dt = 0 \quad L = T - V$$

$$\int_{t_1}^{t_2} (\delta T - \delta V + \delta \bar{W}_{nc}) dt = 0$$

$$\int_{t_1}^{t_2} \left[\int_0^L \rho A(x) \delta u \left(\frac{\partial^2 u}{\partial t^2} \right) dx - \frac{\partial u(L, t) A(L) \delta u(L, t)}{\partial x} - \int_0^L \delta u \frac{\partial}{\partial x} \left[\frac{\partial u}{\partial x} A(x) \right] dx - C \dot{x} \delta u + P \delta u \right] dt$$

$$\int_{t_1}^{t_2} \left\{ \left[\int_0^L \left(-\rho A(x) \left(\frac{\partial^2 u}{\partial t^2} \right) dx - \frac{\partial}{\partial x} \left(\frac{\partial u}{\partial x} A(x) \right) \right) \delta u - \frac{\partial u(L, t) A(L) + (C \dot{u} - P) \delta u}{\partial x} \right] \right\} dt$$

(O) (□)

Segundo o princípio de Hamilton, o termo entre chaves precisa ser nulo para qualquer que seja a variação em "u". Para isso:

$$(O) \quad -\rho \int_0^L A(x) \left(\frac{\partial^2 u}{\partial t^2} \right) dx - \frac{\partial}{\partial x} \left(\frac{\partial u}{\partial x} A(x) \right) = 0 \quad 0 \leq x \leq L, \quad t_0 \leq t \leq t_1$$

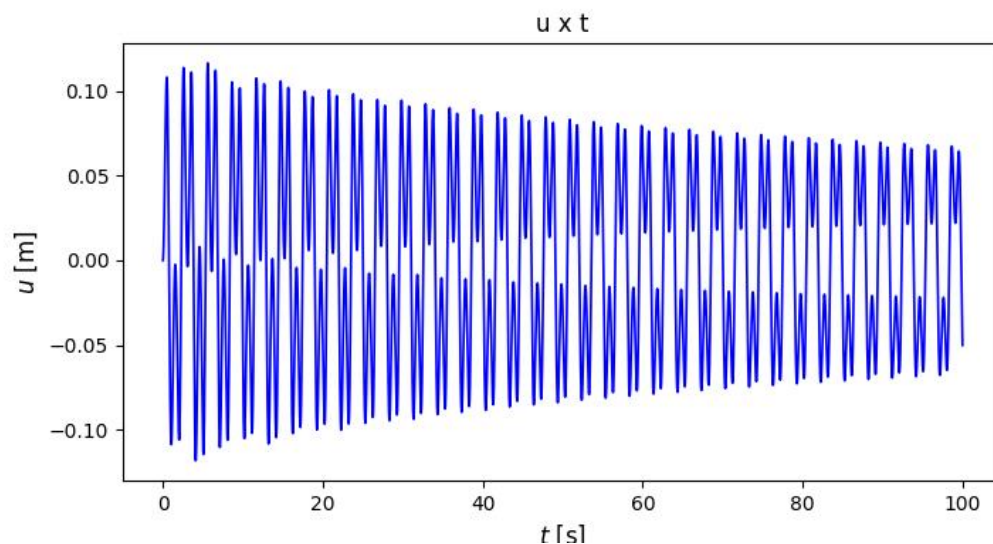
$$(□) \quad \frac{\partial u(L, t) A(L) + (C \dot{u}(x_c, t) - P)}{\partial x} = 0 \quad t_0 \leq t \leq t_1$$

Questão 4, c)

As Figuras de 1 a 6 contém os gráficos requeridos pela questão 4, da primeira lista da disciplina de Análise da Dinâmica de Estruturas.

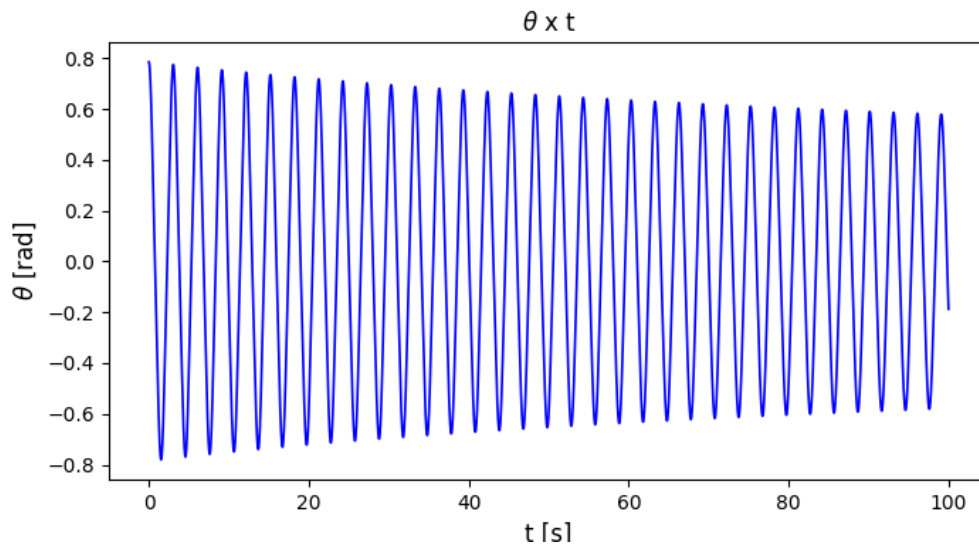
A Figura 1 contém o gráfico do deslocamento linear do conjunto carro e barra pelo tempo. Pode-se perceber dois tipos de oscilação do conjunto. O gráfico da Figura 3 auxiliará na análise desses movimentos.

Figura 1- Deslocamento do conjunto vs. Tempo



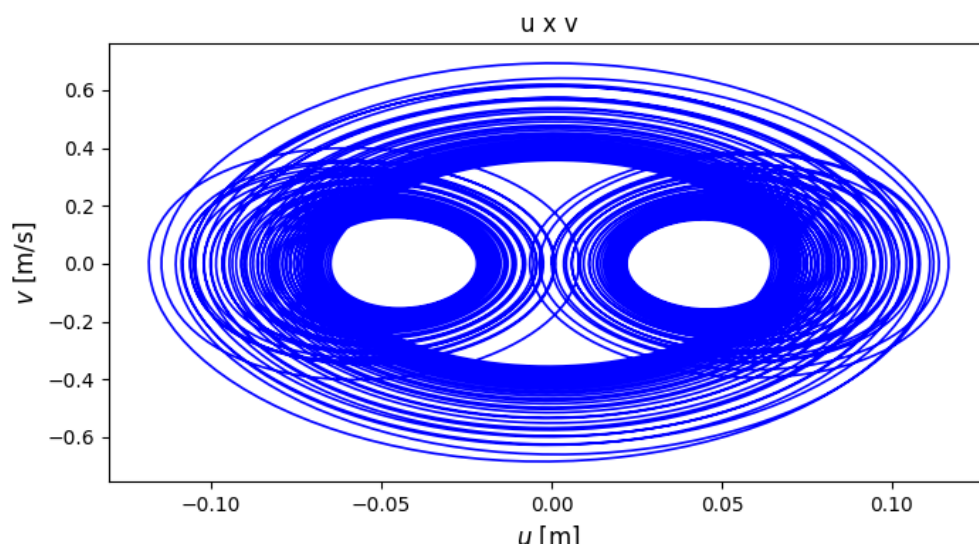
A Figura 2 apresenta o gráfico da rotação da massa “m” ao redor do eixo de fixação no carrinho pelo tempo. A barra inicia o movimento partindo de um ângulo de 90° com a vertical, ou seja, barra paralela ao eixo de movimentação do carrinho.

Figura 2 - Rotação da barra vs. Tempo



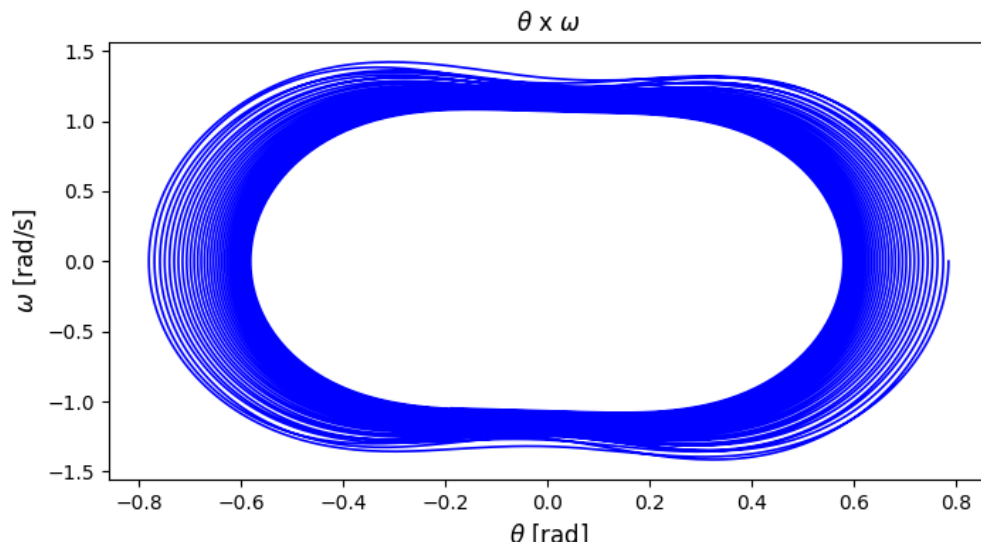
A Figura 3 apresenta o gráfico da velocidade linear pelo deslocamento linear do conjunto carrinho e barra. É possível perceber que o carrinho tem dois movimentos de oscilação, uma oscilação em torno de um ponto no lado positivo do deslocamento (lado direito a posição inicial), uma oscilação em torno de um ponto no lado negativo do deslocamento (lado esquerdo a posição inicial) e uma oscilação ao redor do ponto inicial da análise.

Figura 3 - Velocidade linear vs. deslocamento linear



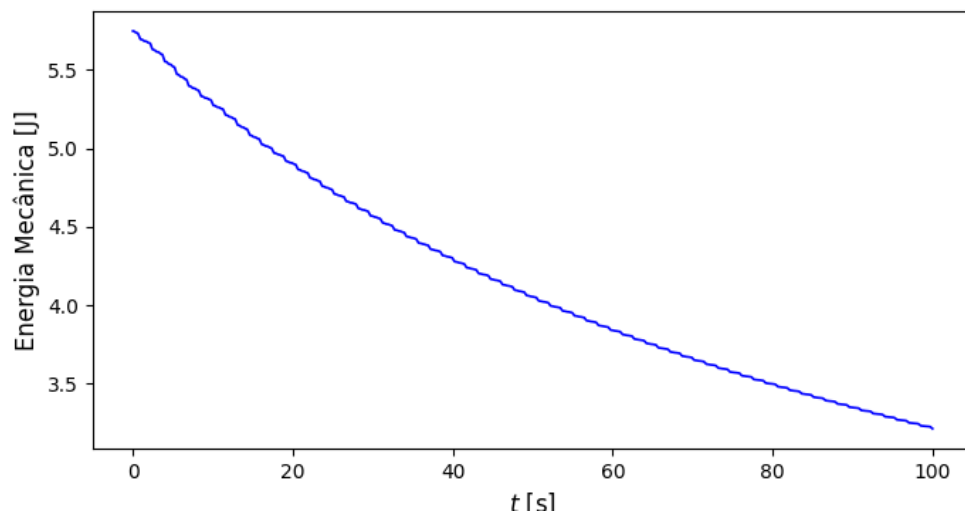
A Figura 4 contém o gráfico de rotação da barra ao redor do ponto de fixação no carrinho.

Figura 4 - Velocidade angular vs. deslocamento angular



A Figura 5 ilustra a dissipação de energia do sistema pelo amortecedor, por meio do gráfico da Energia Mecânica pelo tempo. É possível perceber que existe uma queda da energia total devido ao trabalho da força não conservativa imposta pela presença do amortecedor viscoso.

Figura 5 - Energia Mecânica vs. Tempo



```

1  # Lista 1, questão 4. Enunciado nas anotações da lista.
2  # Baseado no código do Yuri
3
4  import numpy as np
5  import matplotlib.pyplot as plt
6  from scipy.integrate import odeint
7
8  # Parametros
9
10 M = 1 #kg
11 m = 2 #kg
12 k = 100 #N/m
13 c = 0.4 #N.s/m
14 L = 1 #m
15 g = 9.81 #m/s2
16
17 # Condição inicial
18
19 u0 = 0 #m
20 v0 = 0 #m/s
21 theta0 = np.pi/4 #rad
22 omega0 = 0 #rad/s
23
24 save_charts = 'y'
25
26 S_0 = np.array([u0, v0, theta0, omega0])
27
28 def dS_dt(t, S):
29
30     u, v, theta, omega = S
31
32     alpha = (np.cos(theta)/(L*((2*(M+m) - m*((np.cos(theta))**2))))*(- m*L*(omega**2)
33     *np.sin(theta) + k*u + c*v - g*np.tan(theta)*(M+m))
34
35     a = (1/(M + m))*(- m*L*alpha*((np.cos(theta))) + m*L*omega**2*np.sin(theta) - k*u - c*v)
36
37     return [v, a, omega, alpha]
38
39 t_max = 100
40 n_points = 10000
41 period = t_max/n_points
42 fps = 1/period
43
44 t_span = np.linspace(0, t_max, n_points)
45
46 sol = odeint(dS_dt, y0=S_0, t=t_span, tfirst=True)
47
48 u = sol.T[0]
49 v = sol.T[1]
50 theta = sol.T[2]
51 omega = sol.T[3]
52
53 fig_size = (8,4)

```

```

53
54 # Velocidade linear -----
55
56 title = 'u x t'
57 plt.figure(title,figsize=fig_size)
58 plt.plot(t_span, u, '-', linewidth=1.2, color = 'blue')
59 plt.title(title)
60 plt.ylabel('$u$ [m]', fontsize=12)
61 plt.xlabel('$t$ [s]', fontsize=12)
62 # plt.grid(True)
63 # plt.show()
64
65 if save_charts == 'y':
66
67     import matplotlib.pyplot as plt
68     import os
69
70     from time import strftime
71     folder_name = 'Charts' + ' ' + strftime("%Y-%m-%d %H-%M")
72
73     if not os.path.exists(folder_name):
74         os.makedirs(folder_name)
75
76     plt.savefig(folder_name + '\\Velocity profile.png')
77
78 # Velocidade linear vs deslocamento-----
79
80 title = 'u x v'
81 plt.figure(title,figsize=fig_size)
82 plt.plot(u, v, '-', linewidth=1.2, color = 'blue')
83 plt.title(title)
84 plt.ylabel('$v$ [m/s]', fontsize=12)
85 plt.xlabel('$u$ [m]', fontsize=12)
86 # plt.grid(True)
87 # plt.show()
88
89 if save_charts == 'y':
90     plt.savefig(folder_name + '\\ ' + title + '.png')
91
92
93 # Velocidade angular-----
94
95 title = 'theta x t'
96 plt.figure(title,figsize=fig_size)
97 plt.plot(t_span, theta, '-', linewidth=1.2, color = 'blue')
98 plt.title('$\\theta$ x t')
99 plt.ylabel('$\\theta$ [rad]', fontsize=12)
100 plt.xlabel('t [s]', fontsize=12)
101 # plt.grid(True)
102 # plt.show()
103
104 if save_charts == 'y':
105     plt.savefig(folder_name + '\\ ' + title + '.png')
106

```

```

107 # Velocidade angular vs angulo-----
108
109 title = 'theta x omega'
110 plt.figure(title,figsize=fig_size)
111 plt.plot(theta, omega, '-', linewidth=1.2, color = 'blue')
112 plt.title('$\\theta$ x $\\omega$')
113 plt.ylabel('$\\omega$ [rad/s]', fontsize=12)
114 plt.xlabel('$\\theta$ [rad]', fontsize=12)
115 # plt.grid(True)
116 # plt.show()
117
118 if save_charts == 'y':
119     plt.savefig(folder_name + '\\' + title + '.png')
120
121 # Energia mecânica-----
122
123 Mec_energy = np.zeros(len(t_span))
124 for i in range(len(t_span)):
125     Mec_energy[i] = (1/2)*(M + m)*v[i]**2 + m*L*omega[i]*(v[i]*np.cos(theta[i]) + L*omega[i]) +
126     (1/2)*k*(u[i]**2) + (m*g*L*(1 - np.cos(theta[i])))
127
128 # Mec_energy[i] = (1/2)*m*(v[i]**2 + 2*v[i]*omega[i]*L*np.cos(theta[i]) + (omega[i]**2)*
129 # (L**2)) + (1/2)*M*(v[i]**2) + (1/2)*k*(u[i]**2) + (m*g*L - m*g*L*np.cos(theta[i]))
130
131 title = 'Energia Mecânica [J]'
132 plt.figure(title,figsize=fig_size)
133 plt.plot(t_span, Mec_energy, '-', linewidth=1.2, color = 'blue')
134 plt.ylabel(title, fontsize=12)
135 plt.xlabel('$t$ [s]', fontsize=12)
136 # plt.grid(True)
137 # plt.show()
138
139 if save_charts == 'y':
140     plt.savefig(folder_name + '\\' + title + '.png')
141
142 # Trajetórias-----
143
144 m_x_path = np.zeros(len(t_span))
145 m_y_path = np.zeros(len(t_span))
146 M_x_path = np.zeros(len(t_span))
147 M_y_path = np.zeros(len(t_span))
148
149 for i in range(len(t_span)):
150     m_x_path[i] = L*np.sin(theta[i]) + u[i]
151     m_y_path[i] = -L*np.cos(theta[i])
152     M_x_path[i] = u[i]
153
154 title = 'Trajetórias das massas M e m'
155 plt.figure(title,figsize=(8,6))
156
157 plt.plot(m_x_path, m_y_path, '-', linewidth=1.0, color = 'blue', label='$m$')
158 plt.plot(M_x_path, M_y_path, '-', linewidth=1.8, color = 'green', label='$M$')
159 plt.title(title, fontsize=12)
160 plt.ylim((-1.1,0.1))
161 plt.ylabel('$y$ [m]', fontsize=12)

```

```
159 plt.xlabel('x [m]', fontsize=12)
160 # plt.grid(True)
161 plt.legend(fontsize=12)
162
163 if save_charts == 'y':
164     plt.savefig(folder_name + '\\ ' + title + '.png')
165
166 plt.show()
```